

九州大学 学生員 小松 利光

〃 〃 ○吉屋 廉一

〃 〃 右賀 精一

最近開水路乱流における乱れの強度が測定され、今本などは乱れエネルギーの拡散を無視して次元解析的に乱流特性の表示を試みている。しかし、管路開水路流れにおいて拡散が重要な役割を果すことは既に栗原教授によって指摘されているのでここでは開水路等流の式、乱れエネルギーの式及び Reynolds 応力輸送式に基づいて、乱れの強さ  $C_o$ 、Taylor の micro scale 入、混合距離  $l$  の水深方向の分布を導いて今迄の実験結果と比較検討してみた。また河床に粗度をもつた実験を行なったのであわせて報告しておく。

## ①基礎式

等流状態の流れを扱うものとして X 方向の運動方程式、乱れエネルギーの式、Reynolds 応力輸送式はそれぞれ

$$\frac{1}{\rho} \frac{\partial U}{\partial X} + g \cdot i = 0 \quad \dots \dots (1) \quad 2 \cdot \frac{1}{\rho} \frac{\partial U}{\partial Y} - D_i - \frac{d}{dy} (\overline{U^2}) = 0 \quad \dots \dots (2)$$

$$- \overline{U^2} \frac{dU}{dy} - D_i - \frac{d}{dy} (\overline{U \overline{U}}) = 0 \quad \dots \dots (3)$$

ここで、 $D_i$ : 乱れエネルギーの dissipation,  $C^2 = \overline{U^2} + \overline{W^2} + \overline{V^2}$ ,  $D_i$ : Reynolds 応力の dissipation

(1)式で  $i = \frac{dy}{dx}$  として積分すると、 $\tau = \rho K_e \frac{dU}{dy}$ ,  $K_e$ : 湍動粘性係数,  $K_e = \frac{1}{3} C_{lo} l_0$  ( $C_{lo}$  は乱れの強さと混合距離)。して(1)式は  $C_{lo} \frac{dU}{dy} = 3 U_g^2 (1-i) \quad \dots \dots (4)$

粘性効果は乱れが等方性に近い乱流状態であるとして、 $D_i = \frac{10}{X} C^2$  (入: Taylor の micro scale), 乱れエネルギーの拡散係数を  $K_c = \beta_* K_e$  とおくと、乱れエネルギーの式は次式となる。

$$C_{lo} \left( \frac{dU}{dy} \right)^2 - \frac{15}{X} \nu C_o^2 + \frac{1}{2} \beta_* \frac{d}{dy} (C_{lo} \frac{dC}{dy}) = 0 \quad \dots \dots (5)$$

(3)式で  $\overline{U^2} = \frac{1}{3} C^2$ 、乱れによる  $\overline{U \overline{U}}$  の拡散係数  $K_t = \delta_* K_e$  とおく。栗原教授によると、Reynolds 応力の Dissipation  $D_i = - \frac{Y_f}{3} \frac{\nu}{X} C_l \frac{dU}{dy}$  ( $Y_f$  は定数で  $Y_f = 40$ ) である。従って湍動粘性の式は、

$$C_{lo} \frac{dU}{dy} - \frac{Y_f}{3} \frac{\nu}{X} C_{lo} \frac{dU}{dy} - \frac{\delta_*}{2} \cdot U_g \frac{d}{dy} (C_{lo}) = 0 \quad \dots \dots (6)$$

流速分布として開水路流れのほぼ下半分は対数則が成立つので、この分布を仮定するので(4)(6)式はそれぞれ

$$C_{lo} l_0 = 2 K_c U_g h \eta (1-i) \quad \dots \dots (7) \quad \frac{2 U_g^2 \ln \eta}{K_c} - \frac{10 \nu A C^2}{X} + \beta_* K_c U_g \frac{d}{dy} \{ \eta (1-i) \frac{dC^2}{d\eta} \} = 0 \quad \dots \dots (8)$$

$$U_g \frac{dC^2}{d\eta} - 3 K_c U_g h \eta (1-i) - 3 K_c \delta_* U_g^3 (1-2i) = 0 \quad \dots \dots (9)$$

(9)式を用いて入を消去して(7)式を代入すると、(8)式は次式となる。

$$\beta_* K_c \frac{1}{U_g} \frac{d}{dy} \{ \eta (1-i) \frac{dC^2}{d\eta} \} + \frac{2}{K_c} \frac{1-i}{\eta} - \frac{10}{3 Y_f K_c U_g} \frac{1}{\eta (1-i)} C_o^2 + \frac{10 \delta_* Y_f}{3 Y_f K_c} \frac{1-2i}{1-i} C_o^2 = 0 \quad \dots \dots (10)$$

②  $C_o$ ,  $l_0$ ,  $l$  の計算

①壁面近傍：まず  $i$  の比較的小の領域では(10)式の 1, 4 項を無視し

$$\overline{C_o^2} = \frac{C_o^2}{U_g^2} = \sqrt{0.6 Y_f} (1-i) \quad \dots \dots (11) \quad (\text{市一近似解})$$

次に(11)を(10)の 1, 4 項に代入して改めて、 $C_o^2$  を求めると

$$\overline{C_o^2} = \sqrt{0.6 Y_f (1-i)^2} - \frac{3}{10} \sqrt{\frac{Y_f}{3}} (\beta_* \delta_* - 10 \delta_* Y_f) \sqrt{i (1-2i)} \quad \dots \dots (12) \quad (\text{市二近似解})$$

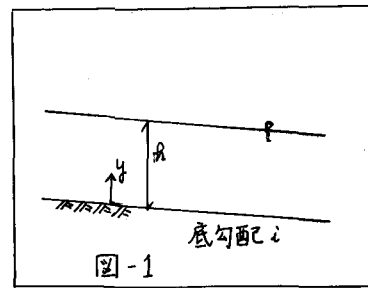


図-1

又、同様に計算を行って、次三近似解を求める。

$$\overline{C_0} = \frac{0.6 Y_* (1-\eta)^2 + 3 \beta_* Y_* \eta^2 (1-2\eta) \{ \overline{C_0}^3 \} + 0.3 \beta_* Y_* \eta_0 \eta^2 (1-\eta)^2 \frac{\{ 0.6 Y_* - A(6\eta-3) \} \{ \overline{C_0}^2 - \frac{1}{4} \} \{ 1.2 Y_* (1-\eta) + A \cdot (6\eta-6\eta+1) \}^2}{\{ \overline{C_0} \}^3}}{(6\eta-6\eta+1)^2} - 0.15 \beta_* Y_* \eta^2 \eta (1-\eta) (1-2\eta) \cdot \frac{\{ 1.2 Y_* (1-\eta) + A(6\eta-6\eta+1) \}}{\{ \overline{C_0} \}^3} \quad \dots \dots (13)$$

$$\text{ここで } A = 0.3 \sqrt{0.6 Y_* (\beta_* \delta_* - 10 \delta_* Y_*) \eta_0^2}$$

$$\text{Taylor の micro scale : (6)式から } \sqrt{\frac{U_*}{A\nu}} \cdot \lambda = \sqrt{\frac{1}{3Y_* \delta_*} \frac{1}{\eta(1-\eta)} \overline{C_0} - \frac{\eta_0 \delta_*}{Y_*} \frac{1-2\eta}{1-\eta}} \quad \dots \dots (14)$$

$$\text{混合距離: } l_0 = 3 \eta_0 \eta (1-\eta) / \overline{C_0} \quad \dots \dots (15)$$

②壁面から離れるとともに乱れは等方性に近づき流れの上半分では湍動粘性係数はむしろ一定であると考えた方が良い。この領域の速度勾配は

$$\frac{dU}{dy} = 3 \cdot \frac{U_*}{C_{ce}} (1-\eta) \quad \dots \dots (17)$$

$\eta = \eta_0$  で流速分布が対数則と接続させると、 $C_{ce} = 3 \eta_0 (1-\eta_0) \nu_0 \delta_* U_*$  となる。これを(17)に代入

$$\frac{dU}{dy} = \frac{1}{\nu_0 \delta_*} \frac{U_*}{1-\eta_0} \quad \dots \dots (18) \quad \text{これらを(5)に入れ} \dots$$

$$\frac{3 \nu_0 (1-\eta^2)}{\eta_0 (1-\eta_0) \delta_*} - \frac{15 \nu}{\delta_*^2} C_0^2 + 1.5 \eta_0 (1-\eta_0) \beta_* \nu_0 \delta_* U_* \frac{d(C_0)}{dy} = 0 \quad \dots \dots (5)'$$

$\overline{C_0}$  は  $0 \leq \eta \leq 0.5$  まで(13)式から求め、 $0.5 \leq \eta \leq 1.0$  で(13)式の  $\eta = 0.5$  の値を境界条件として(5)式から数值計算を行なった。なお

$$\text{Taylor の micro scale : } \sqrt{\frac{U_*}{A\nu}} \cdot \lambda = \sqrt{3 \eta_0 (1-\eta_0) \beta_* \nu_0 / \overline{C_0}} \quad \dots \dots (19)$$

$$\text{混合距離: } l_0 = 3 \eta_0 (1-\eta_0) \nu_0 / \overline{C_0} \quad \dots \dots (20)$$

### ③実験

白駆水路は幅4cm長さ15mで径1.60cm(Run1), 1.29cm(Run2)のラムネ玉を河床に敷きつめ hot-film を用いて乱れを測定した。Data の処理は sampling interval 1J Run1 で  $0.02 \text{ sec}$  Run2 で  $0.1 \text{ sec}$  で Data 個数 Run1 で 2100個 Run2 で 1100個で 乱れ強さを  $U' = \sqrt{\frac{1}{N-1} \sum (U_i - \bar{U})^2}$  で求めた。

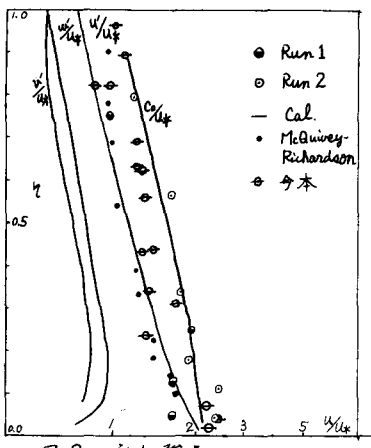


図2. 乱れ強さ

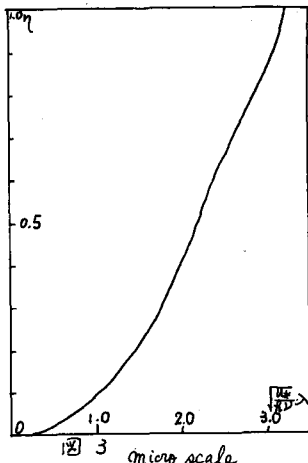


図3. micro scale

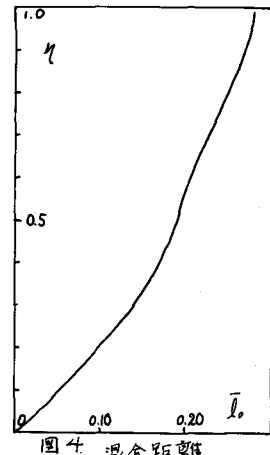


図4. 混合距離

④まとめ: 計算値と測定値を比較して、乱れの強度は計算の方が若干少く下っているが傾向はだいたいあっていい。

最後にこの研究は構教授の指導のもとに行なわれたものである。